

تقریب نیمه تحلیلی توزیع دو بعدی رطوبت در آبیاری قطره ای - نواری

فرهاد میرزایی^{۱*}، عبدالحسین هورفر^۲ و مجتبی حاتمی^۳

چکیده

تعیین قطر و عمق خاک مرطوب شده و نیز رطوبت توزیع شده در فواصل مختلف نسبت به منبع تغذیه پس از پایان آبیاری از اهمیت ویژه‌ای در طراحی آبیاری قطره‌ای برخوردار هستند. حرکت آب در خاک در منبع تغذیه خطی در دو بعد (\mathbb{X}, \mathbb{Z}) صورت می‌گیرد. در این پژوهش یک مدل فیزیکی طراحی شد و آزمایش‌های پیش روی جبهه رطوبتی در خاک در دبی‌های مختلف و در زمان‌های مختلف صورت گرفت و رطوبت خاک پس از پایان آبیاری به صورت مستقیم تعیین گردید. از بسط و ساده سازی معادله واریک و رساندن به مرحله‌ای قابل حل و سپس تقریب تحلیلی آن در دو بعد (\mathbb{X}, \mathbb{Z}) رطوبت خاک برآورد گردید و مقادیر رطوبت برآورده شده با مقادیر اندازه‌گیری شده مورد مقایسه و تجزیه و تحلیل قرار گرفت. نتایج حاصل از حل معادله با مقدار اندازه‌گیری شده همخوانی بسیار خوبی نشان داد و این حقیقت تقویت شد که بحثی که در این مقاله توسعه یافته است عموماً در یک محدوده وسیعی از خاک معتبر هستند.

واژه‌های کلیدی: آبیاری قطره‌ای، تقریب نیمه تحلیلی، جبهه رطوبتی، منبع تغذیه خطی، توزیع رطوبت

۱ و ۲. به ترتیب استادیار و دانشیار گروه مهندسی آبیاری و آبادانی، دانشکده مهندسی آب و خاک، پردیس کشاورزی و منابع طبیعی دانشگاه تهران، کرج

۳. دانش آموخته کارشناسی ارشد سازه‌های آبی، دانشگاه مازندران

*: نویسنده مسؤول

مقدمه

منبع تغذیه در زیر خاک) پرداخت ولی آن را با مدل آزمایشگاهی و یا نتایج مزرعه‌ای مورد مقایسه قرار نداد بلکه دیگران بعداً معادله ریاضی وی را به صورت کاربردی حل و آن را با مدل‌های آزمایشگاهی و یا مزرعه‌ای مورد مقایسه قرار دادند. واریک با ارائه فرضیاتی با استفاده از معادله فیلیپ برای حالت دو بعدی جریان معادله‌ای ریاضی ارائه کرد (واریک، ۱۹۸۵). توربون و همکاران معادلات فوق را برای ارزیابی روش آبیاری قطره‌ای مزارع نیشکر و محصولات باغی شمال شرقی استرالیا به کار برند (توربون، ۲۰۰۳). سازمان تحقیقات استرالیا (CSIRO) از ۲۹ نمونه خاک با محدوده وسیعی از هدایت هیدرولیکی و خصوصیات دیگر خاک به منظور تاثیر بافت و تیپ خاک بر روی شکل و ابعاد حجم مرطوب استفاده کردند. نتایج پژوهش آن‌ها نشان داد که معادلات فوق ابعاد خاک مرطوب را کمی بیشتر از مقدار اندازه‌گیری برآورد می‌کنند. اف لافولی و همکاران (۱۹۸۹) به روش عددی به حل معادله حرکت آب در خاک در روش آبیاری قطره‌ای در دو بعد پرداختند در روش حل آن‌ها برای دبی‌های $0/5$ ، $1/5$ و 3 لیتر بر ساعت را به مدت ۱۶ ساعت در خاک لوس (Loes soil) حداکثر شاعر مرطوب نسبت به منبع تغذیه را 38 سانتی‌متر و حداکثر عمق مرطوب را حدود 30 سانتی‌متر برآورد گردید.

مواد و روش‌ها**الف- بخش تئوریک و حل ریاضی**

برای حالتی که تغذیه آب به خاک توسط چند خروجی نزدیک و پشت سر هم در طول لوله یا نوار آبیاری صورت می‌گیرد (شکل شماره ۱)، بخش مرطوب خروجی‌های مجاور (همسایه) به هم رسیده و نوار مرطوب ممتدی را در طول لوله آبده (نوار) تشکیل می‌دهند. در چنین شرایطی جریان آب در داخل خاک به صورت دو بعدی قابل تفکیک است. واریک با ارائه فرضیاتی با استفاده از معادله فیلیپ برای حالت دو بعدی جریان معادله‌ای ارائه کرد (واریک ۱۹۸۵). در پژوهش حاضر، با استفاده از معادله ریچاردز و بالستفاده از یک سری تبدیل‌ها معادله واریک به دست آمد. سپس با بسط

در سال‌های اخیر کاربرد آبیاری قطره‌ای برای بسیاری از محصولات و در گستره وسیعی از بافت و ساختمان و خصوصیات متنوع خاک به نحو چشم‌گیری افزایش نشان می‌دهد. رسیدن به راندمان مطلوب در این روش بستگی به طراحی صحیح و اجرای درست سیستم دارد. عدم فهم درست توزیع آب در خاک سبب پایین آمدن راندمان می‌شود وقتی خروجی‌های روی لوله به هم نزدیک باشند، نوار مرطوب ممتدی را در طول ردیف‌ها سبب می‌شوند (شوارتزمن، ۱۹۸۶). فاصله بین دیگر بایستی بر اساس درجه همپوشانی قطر خاک مرطوب شده توسط خروجی‌های مجاور (همسایه) تعیین شود (بی‌زور، ۱۹۹۶). طول مدت آبیاری به فاصله زمانی رسیدن جبهه رطوبتی به عمق توسعه ریشه گیاه و یا مضری از آن بستگی دارد.

کفایت آبیاری نیز وقتی تامین می‌شود که توزیع کافی رطوبت در خاک صورت گرفته و یا به عبارت دیگر رطوبت ذخیره شده در منطقه ریشه گیاه به اندازه‌ای باشد که کمبود رطوبت خاک را جبران نماید.

در حالی که نتایج آزمایشگاهی برای فهم فیزیکی و بیان آب در خاک خیلی مهم هستند، ولی مهمتر از آن این است که از این نتایج آزمایشگاهی برای حرکت آب در خاک و توزیع رطوبت مدل‌های کاربردی تدوین گردد (زاویاتا، ۱۹۸۵). تعداد زیادی از مدل‌های حرکت آب در خاک غیر اشباع در آبیاری قطره‌ای متمرکز شده‌اند که اغلب مدل‌های تحلیلی و نیمه عددی هستند. مدل‌های تحلیلی معمولاً با جریان دائمی و یا بینابینی نفوذ از منبع نغذیه نقطه‌ای یا خطی سر و کار دارند (المالوگ-یو، ۱۹۹۷). مدل‌های فیلیپ، واریک، لومن، بن‌آشر و ودن در این گروه قرار دارند. فیلیپ معادله‌ای شبیه خطی در شرایط جریان دائمی و در محیط غیر اشباع در سه بعد ارائه کرد. وی پس از ارائه یک سری فرضیات ساده کننده معادله فوق را به صورت تحلیلی حل کرد (فیلیپ ۱۹۷۲). فیلیپ به حل ریاضی معادله نفوذ در حالت ماندگار و در خاک هموزن برای منبع تغذیه نقطه‌ای و خطی در دو حالت (منبع تغذیه روی سطح خاک و

قرار گرفت. در زیر چگونگی این مراحل به تفصیل تشریح می‌گردد.

و ساده کردن معادله واریک و رساندن آن به مرحله‌ای قابل حل، و با تقریب نیمه تحلیلی آن در دو بعد (X,Z) رطوبت خاک برآورد گردید و رطوبت برآورد شده با مقادیر اندازه گیری شده مورد مقایسه و تجزیه و تحلیل



شکل ۱: لوله آبیاری قطره‌ای نواری (Tape)

$$\frac{\partial \theta}{\partial t} = -\nabla \cdot (k_{(\theta)} \nabla h) + \frac{\partial k}{\partial z} \quad (1)$$

یا

$$\frac{\partial v}{\partial t} = -\frac{\partial}{\partial x}(k \frac{\partial h}{\partial x}) - \frac{\partial}{\partial y}(k \frac{\partial h}{\partial y}) - \frac{\partial}{\partial z}(k \frac{\partial h}{\partial z}) + \frac{\partial k}{\partial z} \quad (2)$$

معادله (۲) در شرایط دائمی و با لحاظ تبدیل (فلیپ ۱۹۷۲)

$$k = k_0 e^{\alpha h} \quad (3)$$

به صورت زیر نوشته می‌شود:

$$-\frac{\partial}{\partial x}(k_0 e^{\alpha h} \frac{\partial h}{\partial x}) - \frac{\partial}{\partial y}(k_0 e^{\alpha h} \frac{\partial h}{\partial y}) - \frac{\partial}{\partial z}(k_0 e^{\alpha h} \frac{\partial h}{\partial z}) + \frac{\partial k}{\partial z} = 0 \quad (4)$$

که در آن: k_0 : مقدار ثابت است که از برازش مقادیر پتانسیل ماتریک خاک (h) با هدایت هیدرولیکی غیر اشباع خاک به دست می‌آید. ($k(\theta)$: هدایت هیدرولیکی غیر اشباع خاک (LT^{-1}). α : ثابت تجربی است و بعد آن (L^{-1}) است و عکس آن معادل مکش خاک درهنگام ورود هوا به خاک و h پتانسیل آب خاک است (L)).

برای سادگی مسئله، یک جمله از معادله (۴) را در نظر می‌گیریم و آن را بسط می‌دهیم.

$$-\frac{\partial}{\partial x}\left(k_0 e^{\alpha h} \frac{\partial h}{\partial x}\right) = -\frac{\partial}{\partial x}\left(\frac{k_0}{\alpha} \frac{\partial}{\partial x}(e^{\alpha h})\right) = -\frac{\partial}{\partial x}\left(\frac{\partial}{\partial x}\left(\frac{k_0}{\alpha} e^{\alpha h}\right)\right) = -\frac{\partial^2}{\partial x^2}\left(\frac{k_0 e^{\alpha h}}{\alpha}\right) \quad (5)$$

حال اگر تبدیل $\phi = \frac{k_0}{\alpha} e^{\alpha h}$ را در سمت راست معادله (۵) جای‌گزین کنیم خواهیم داشت:

مواد و روش‌ها

الف-بخش تئوریک و حل ریاضی

برای حالتی که تغذیه آب به خاک توسط چند خروجی نزدیک و پشت سر هم در طول لوله یا نوار آبیاری صورت می‌گیرد (شکل شماره ۱) بخش مرطوب خروجی‌های مجاور (همساخه) به هم رسیده و نوار مرطوب ممتدی را در طول لوله آبده (نوار) تشکیل می‌دهند. در چنین شرایطی جریان آب در داخل خاک به صورت دو بعدی قابل تفکیک است. واریک با ارائه فرضیاتی با استفاده از معادله فیلیپ برای حالت دو بعدی جریان معادله‌ای ارائه کرد (واریک ۱۹۸۵). در پژوهش حاضر معادله واریک با استفاده از معادله ریچاردز و لحاظ تبدیلی به دست آمد سپس با بسط و ساده کردن معادله واریک و رساندن آن به مرحله‌ای قابل حل، و با تقریب نیمه تحلیلی آن در دو بعد (X,Z) رطوبت خاک برآورد گردید رطوبت برآورد شده با مقادیر اندازه گیری شده مورد مقایسه و تجزیه و تحلیل قرار گرفت در زیر چگونگی این مراحل به تفصیل تشریح می‌گردد.

معادله ریچاردز از ترکیب معادله پیوستگی و معادله دارسی به دست می‌آید. برای یک خاک ایزوتروپ می‌توان معادله ریچاردز را به صورت زیر نوشت. (دانیل و همکاران، ۱۹۹۸)

تقریب نیمه تحلیلی توزیع دو بعدی رطوبت در آبیاری قطره ای - نواری

انتگرال فوق برای شرایط مختلف یعنی این که قطره چکان در سطح خاک و یا زیر خاک باشد و نیز اینکه به صورت یک خروجی تنها و یا به صورت یک تعداد خروجی نزدیک به هم با فاصله کم عمل تغذیه را انجام دهنده قابل تفکیک است.

که در آن: ϕ_{3s} : تابع $(\phi = \frac{k_0}{\alpha} e^{\alpha h})$ در سه بعد و

خرجی در سطح خاک، ϕ_{3B} : تابع $(\phi = \frac{k_0}{\alpha} e^{\alpha h})$ در

سه بعد و خروجی در زیر خاک، Z : برابر است با

$Z = \alpha z / 2$ که z فاصله قائم جبهه پیشروی از منبع

تغذیه است و $R = \alpha r / 2$ که r فاصله

افقی جبهه پیشروی از منبع تغذیه و α : نیز قبلًا تعریف شده است.

معادله فیلیپ نیز براساس معادله (۱۰) بنا شده است. به طوری که قبلًا گفته شد واریک این معادله را به صورت زیر حل کرده است.

(۱۲)

$$\phi_{3s} = 2 \left[\phi_{3B} - \exp(2z) \int_z^\infty \exp(-2z) (\phi_{3B}) dz \right]$$

که پارامترهای معادله فوق در معادله (۱۱) تعریف شده‌اند. معادله فوق برای حالتی است که تغذیه آب به خاک توسط چند خروجی نزدیک و پشت سر هم در طول لوله یا نوار آبیاری صورت می‌گیرد. در چنین شرایطی جریان آب در داخل خاک به شکل دو بعدی و به صورت زیر قابل تفکیک است.

$$\phi_{2s} = 2 \left\{ \phi_{2B} - \exp(2z) \int_z^\infty \exp(-2z) (\phi_{2B}) dz \right\} \quad (13)$$

که در آن ϕ_{2s} : تابع $(\phi = \frac{k_0}{\alpha} e^{\alpha h})$ در دو بعد و

خرجی در سطح خاک، ϕ_{2B} : تابع $(\phi = \frac{k_0}{\alpha} e^{\alpha h})$ در

دو بعد و خروجی در زیر خاک و Z : برابر است با

$Z = \alpha z / 2$ که z فاصله قائم جبهه پیشروی رطوبتی از منبع تغذیه است.

ϕ_{2B} عبارت است از:

$$\phi_{2B} = \left(\frac{q_L}{2\pi} \right) \exp(z) k_0 \left[(R^2 + Z^2)^{0.5} \right] \quad (14)$$

که در آن q_L : دبی در واحد طول نوار، R : برابر

که r فاصله افقی جبهه پیشروی رطوبتی از

$$-\frac{\partial^2}{\partial x^2} \left(\frac{k_0}{\alpha} e^{\alpha h} \right) = \frac{\partial^2 \phi}{\partial x^2} \quad (6)$$

و اگر جمله آخر معادله (۴) را بسط دهیم داریم:

$$\frac{\partial k}{\partial z} = \frac{\partial}{\partial z} \left(\alpha \frac{k_0}{\alpha} e^{\alpha h} \right) = \alpha \frac{\partial}{\partial z} \left(\frac{k_0}{\alpha} e^{\alpha h} \right) = \alpha \frac{\partial \phi}{\partial z} \quad (7)$$

حال اگر به جای تمام جملات معادله (۴) بسطهای

معادل آنها را جای‌گزین نمائیم داریم:

$$-\frac{\partial^2 \phi}{\partial x^2} - \frac{\partial^2 \phi}{\partial y^2} - \frac{\partial^2 \phi}{\partial z^2} + \alpha \frac{\partial \phi}{\partial z} = 0 \quad (8)$$

یا

$$-\nabla^2 \phi + \alpha \frac{\partial \phi}{\partial z} = 0 \quad (9)$$

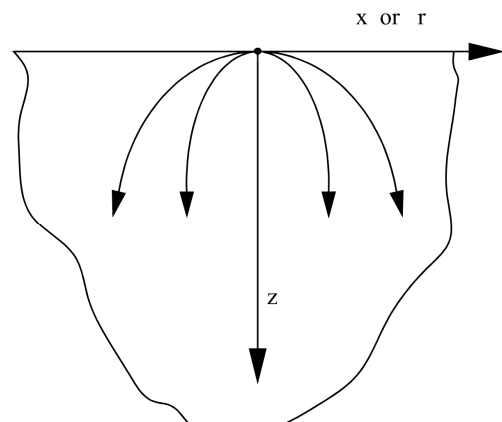
یا

$$\nabla^2 \phi - \alpha \frac{\partial \phi}{\partial z} = 0 \quad (10)$$

معادله (۱۰) یک معادله خطی است که روش‌های تحلیلی برای حل آن وجود دارد (واریک، ۱۹۸۵). معادله فوق برای استفاده در آبیاری قطره‌ای مناسب است و برای تعیین رطوبت اطراف خروجی‌ها می‌توان از آن استفاده کرد. واریک معادله فوق را با فرضیاتی حل کرد. شکل ۲ نحوه جریان را برای خروجی نقطه‌ای که منطقه جریان برای آن نیمه محدود است نشان می‌دهد. اگر هیچ جریانی به جز جریان از سطح خاک وارد و یا خارج نشود.

جواب معادله (۱۰) عبارت است از:

$$\phi_{3s} = \left\{ \phi_{3B} - \exp(2z) \int_z^\infty \exp(-2z) [\phi_{3B}] dz \right\} \quad (11)$$



شکل ۲: شکل هندسی جریان از یک قطره چکان (ناکایاما

و باکس ۱۹۶۸)

وجود دارد، حد بالای انتگرال فوق بینهایت است.
از آنجایی که روش‌های عددی برای محاسبه انتگرال‌ها با حدود متناهی به کار گرفته می‌شوند و در اینجا با انتگرالی سروکار داریم که حد بالای آن بینهایت است، معادله (۱۹) به فرم زیر بازنویسی می‌شود.

(۲۰)

$$I = \int_z^{\infty} \frac{q_L A}{2\pi} e^{-z-b(R^2+Z^2)^{0.5}} dz = \int_z^{\ell} \frac{q_L A}{2\pi} e^{-z-b(R^2+Z^2)^{0.5}} dz + \underbrace{\int_{\ell}^{\infty} \frac{q_L A}{2\pi} e^{-z-b(R^2+Z^2)^{0.5}} dz}_{I_1}$$

اگر منظور محاسبه I با خطای کمتر از مقدار مفروض ε (مثلاً ε=10⁻⁵) باشد ابتدا کمترین ℓ را برای این که $\frac{\epsilon}{2} < I_2 < 0$ باشد تعیین می‌شود.

این امکان از آنجا ناشی می‌شود که:

$$\lim_{\ell \rightarrow \infty} \int_{\ell}^{\infty} \frac{q_L A}{2\pi} e^{-z-b(R^2+Z^2)^{0.5}} dz = 0 \quad (21)$$

پس از محاسبه ℓ با به کارگیری یکی از روش‌های عددی انتگرال I_1 را که دارای حدود متناهی است با خطای کمتر از $\frac{\epsilon}{2}$ محاسبه می‌شود.

واضح است که:

$$e^{-z-b(R^2+Z^2)^{0.5}} < e^{-(1+b)z} \quad (22)$$

پس

(23)

$$\frac{A q_L}{2\pi} \int_{\ell}^{\infty} e^{-z-b(R^2+Z^2)^{0.5}} dz < \frac{A q_L}{2\pi} \int_{\ell}^{\infty} e^{-(1+b)z} dz = \frac{A q_L}{2\pi} \frac{e^{-(1+b)\ell}}{1+b}$$

بنابراین اگر

$$\frac{A q_L}{2\pi} \cdot \frac{e^{-(1+b)\ell}}{1+b} \leq \frac{\epsilon}{2} \quad (24)$$

معنی

$$\ell \geq \frac{1}{1+b} \ln \frac{A q_L}{2\pi(b+1)\epsilon} \quad (25)$$

آن‌گاه به طریق اولی

(26)

لذا در معادله (۲۵) ℓ برابر سمت راست قرار داده می‌شود.

منبع تغذیه، a : پارامتر ثابت تجربی خاک که قبلاً تعریف شده است، k₀ :تابع بسیل تبدیل یافته از نوع دوم

توابع بسیل

توابع بسیل تبدیل یافته به اندیس n نوع اول و دوم که به ترتیب با (x) I_n و (x) k_n نشان داده می‌شوند. جواب‌های معادله دیفرانسیل x² y'' + xy' - (x² + n²)y = 0 می‌باشند (آبرامو و یتز). (۱۹۶۵)

مقادیر (x) I₁(x), k₀(x), I₀(x) و k₁(x) به صورت نمودارهایی در کتب ریاضی آمده است. همچنان به صورت جدول در کتب ریاضی وجود دارد (اشپیگل). (۱۹۸۱)

برای محاسبه عددی انتگرال (۱۳) ابتدا با توجه به شکل نمودار تابع (x) k₀(x) که به شکل تابع نمایی با توان منفی است به کمک جدول مقادیر این تابع با به کارگیری روش حداقل مربعات به صورت تابع

$$k_0(x) \approx Ae^{-bx}$$

$$k_0(x) = 1.69433 e^{-1.30(x)} \quad (15)$$

$$R^2 = 0.9962$$

معادله (۱۵) را می‌توان به صورت کلی زیر نوشت:

$$k_0(x) = Ae^{-b(x)} \quad (16)$$

اگر در معادله (۱۳) به جای φ₂B مقدار مساوی آنرا از

معادله (۱۴) قرار دهیم، داریم:

(17)

$$\phi_{2z} = 2 \left[\left(\frac{q_L}{2\pi} \right) \exp(z) k_0(x) \left[(R^2 + Z^2)^{0.5} \right] - \exp(2z) \int_z^{\infty} \exp(-2z) \left(\frac{q_L}{2\pi} \right) \exp(z) k_0(x) \left[(R^2 + z^2)^{0.5} \right] dz \right]$$

اگر بخش دوم معادله یعنی فقط مقدار انتگرال معادله را جدا کنیم، داریم:

$$\int_z^{\infty} \exp(-2z) \left(\frac{q_L}{2\pi} \right) \exp(z) k_0(x) \left[(R^2 + Z^2)^{0.5} \right] dz \quad (18)$$

حال اگر به جای (x) k₀(x) معادله فوق مقدار آن را از

معادله (۱۵) قرار دهیم و آن را ساده کنیم، داریم:

(19)

$$\int_z^{\infty} \frac{q_L}{2\pi} e^{-z} \cdot A e^{-b(R^2+Z^2)^{0.5}} dz = \int_z^{\infty} \frac{A q_L}{2\pi} e^{-z-b(R^2+Z^2)^{0.5}} dz$$

مالحظه می‌شود گام‌های خیلی مثبتی برای حل معادله (۱۳) برداشته شده و بخش انتگرال آن ساده شده است. مشکل (x) k₀(x) برطرف شده است، اما یک مشکل دیگر

تقریب نیمه تحلیلی توزیع دو بعدی رطوبت در آبیاری قطره ای - نواری

$$\phi_{2s} = 2 \left[\left(\frac{q_L}{2\pi} \right) e^z k_0 \left[(R^2 + Z^2)^{0.5} \right] - e^{2Z} (I) \right] \quad (37)$$

در معادله (۳۷) با محاسبه (I) و با معلوم بودن مقدار q_L ، دبی در واحد طول نوار، همچنین محاسبه k_0 با استفاده از معادله (۱۵)، مقدار ϕ_{2s} (یا ϕ) در هر عمق (z) و شاع (r) نسبت به منبع تغذیه خطی قابل محاسبه است. با بهدست آمدن مقدار ϕ با استفاده از تبدیل معادله ریچاردز $\phi = \left(\frac{k_0}{\alpha} \right) e^{\alpha h}$ و با معلوم بودن

k_0 که نبایستی با مقدارتابع بسل اشتباه شود) و α ، مقدار h بهدست می آید.

با داشتن مقدار h با استفاده از معادله وانگنختن، $\theta_v - \theta_r = \left[\frac{\theta_s - \theta_r}{1 + (\alpha h)^{1/n}} \right]^{-n}$ مقدار رطوبت (θ_v) در

هر عمق (z) و شاع (r) نسبت به منبع تغذیه قابل محاسبه است.

لذا در این تحقیق با استفاده از معادله فوق و به ترتیبی که ذکر شد رطوبت نقاط مختلف حجم خاک مرطوب شده در زیر نوار آبیاری پس از پایان آبیاری برای بافت های مختلف مورد آزمایش محاسبه شده است.

ب-بخش ساخت مدل فیزیکی و انجام آزمایشات

در این تحقیق یک مدل فیزیکی به ابعاد $180 \times 120 \times 90$ سانتی متر از جنس ورقه های شفاف پلکسی گلاس ساخته شد. این مدل روی شاسی از جنس نبشی های فلزی با مقاومت زیاد که تحمل وزن زیاد را بنماید مستقر شد. با نصب چرخ های فلزی مناسب در زیر شاسی امکان جابه جایی مجموعه در زمانی که خالی از خاک باشد میسر شد. در بخش تحتانی محفظه درهای کشویی برای خارج کردن سریع خاک تعییه شده بود. شکل ۳ نمای کلی مدل فیزیکی را نشان می دهد.

با استفاده از یک $\frac{1}{4}$ میز هیدرولیکی دو پمپ نصب شده روی آن و دو فشار سنج امکان انتقال و اندازه گیری دقیق جریان در طول زمان آبیاری فراهم آمد.

در این پژوهش از یک حلقه نوار (TAPE) با فواصل خروجی ۳۰ سانتی متر که بیشتر از انواع دیگر نوارها مورد مصرف دارد استفاده شد. در این پژوهش بار فشار کار کرد قطره چکان $\frac{1}{4}, \frac{1}{2}, \frac{3}{4}$ و $1/0$ اتمسفر جبهه

$$\ell = \frac{1}{1+b} \ln \frac{A q_L}{\pi(b+1)\varepsilon} \quad (27)$$

پس با خطایی کمتر از $\frac{\varepsilon}{2}$ داریم:

$$I = \frac{A q_L}{2\pi} \int_z^\ell e^{-z-b(R^2+Z^2)^{0.5}} dz \quad (28)$$

حال با به کار گیری یکی از روش های عددی این انتگرال را با خطایی که کمتر از $\frac{\varepsilon}{2}$ باشد حساب می کنیم.

در این پژوهش از میان روش های عددی موجود از روش رومبرگ^۲ که اصلاح یافته قاعده ذوزنقه می باشد استفاده شده است. با توجه به قانون ذوزنقه مقدار عددی انتگرال $I = \int_a^b f(x) dx$ را می توان به صورت زیر برآورد نمود.

$$I = \frac{h}{2} [f(a) + 2f(a+h) + \dots + f(b)] \quad (29)$$

که در آن، h برابر با نسبت تفاضل حدود بالا و پایین انتگرال به تعداد گام های انتخاب شده $\left(h = \frac{b-a}{n} \right)$ می باشد. بر پایه روش رومبرگ:

$$I_1 = \frac{h_1}{2} [f(a) + f(b)] \quad (30)$$

$$h_1 = (b-a) \quad (31)$$

$$I_2 = \frac{h_2}{2} [f(a) + 2f(a+h_2) + f(b)] \quad (32)$$

$$h_2 = (b-a)/2 \quad (33)$$

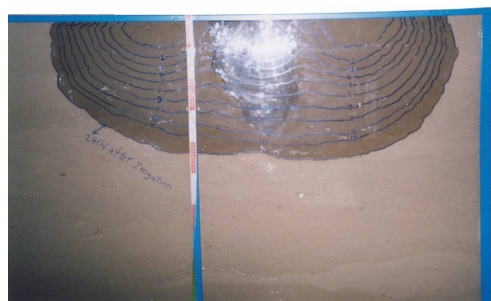
$$I_3 = \frac{h_3}{2} [f(a) + 2f(a+h_3) + 2f(a+2h_3) + 2f(a+3h_3) + f(b)] \quad (34)$$

$$I_3 = \frac{h_3}{2} [f(a) + 2f(a+h_3) + 2f(a+2h_3) + 2f(a+3h_3) + f(b)] \quad (35)$$

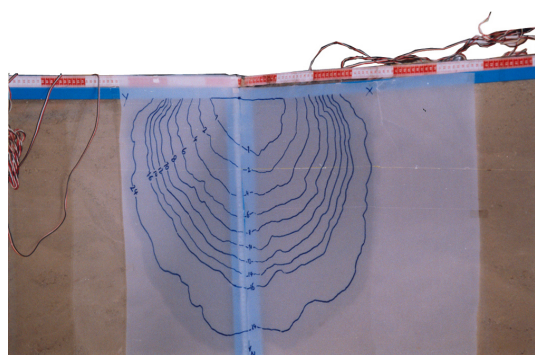
مقدار انتگرال I عبارت خواهد بود از:

$$I = \frac{1}{45} (I_1 - 20I_2 + 64I_3) \quad (36)$$

با قرار دادن مقدار انتگرال فوق در معادله (۱۷) خواهیم داشت.



شکل ۵: پیش روی جبهه رطوبتی خاک با سه خروجی در انتهای آزمایش



شکل ۶: نحوه انتقال جبهه پیش روی رطوبت در مدل به کاغذ کالک

پیش روی رطوبتی در زمان های ۱ تا ۱۴ ساعت و رطوبت باقی مانده در خاک، ۲۴ ساعت پس از پایان آبیاری تعیین گردید که در بخش نتایج ارائه شده است. شکل ۴ جبهه رطوبتی از سه خروجی به فاصله ۳۰ سانتی متر پس از گذشت ۴ ساعت را نشان می دهد که هنوز جبهه رطوبتی خروجی های مجاور (همسایه) به یکدیگر نرسیده اند و در شکل شماره ۵ جبهه رطوبتی همان سه خروجی را در پایان آزمایش (۱۴ ساعت) که جبهه رطوبتی کاملاً یکنواختی را ایجاد کرده اند را نشان می دهد. شکل ۶ نحوه انتقال جبهه پیش روی رطوبتی از مدل فیزیکی به کاغذ کالک جهت استخراج داده ها به منظور تجزیه و تحلیل و ارائه معادلات را نشان می دهد.



شکل ۳: مدل فیزیکی در حین آزمایش

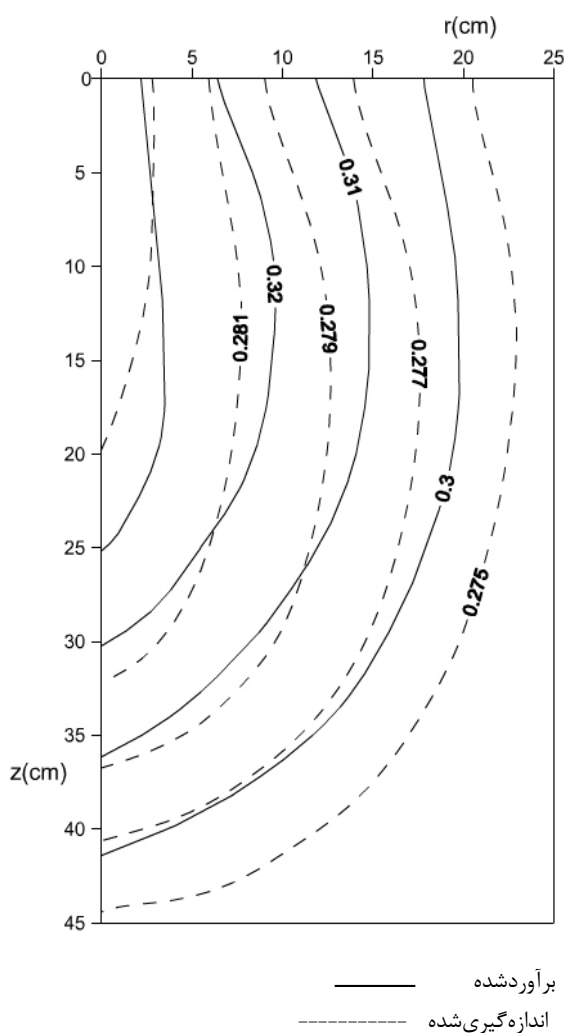
در تعیین توزیع رطوبت خاک در دو بعد از روش تقریب نیمه تحلیلی حل معادله A.W.Warriek استفاده شد. حل معادله فوق الذکر پتانسیل ماتریک خاک (h) را در دو بعد Z و Z معین می کند که با استفاده از معادله وان گنوختن، رطوبت معادل پتانسیل های فوق تعیین می شود. مقادیر رطوبت برآورد شده با مقادیر اندازه گیری شده در دو بعد برای خاک های مختلف مورد آزمایش در شکل های ۷ تا ۹ نمایش داده است. مقایسه بین رطوبت اندازه گیری شده با مقادیر برآورد شده از مدل در خاک های مختلف پس از پایان آبیاری مشخص می کند که مقادیر فوق در خاک های رسی - شنی و لومی شنی به هم نزدیک بوده و بین رطوبت اندازه گیری شده و برآورد شده در خاک لوم حدود ۵ درصد اختلاف وجود دارد.



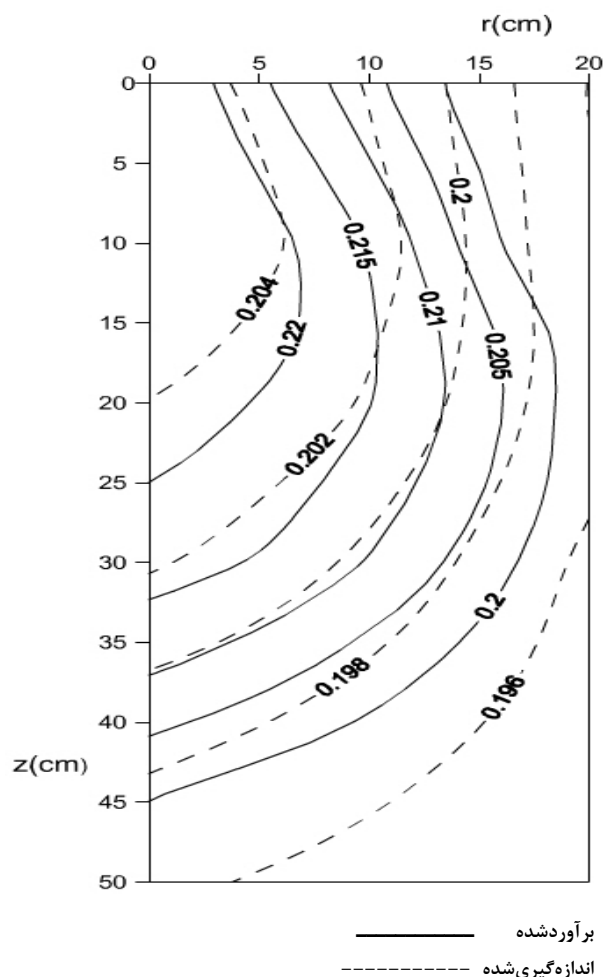
شکل ۴: جبهه پیش روی رطوبت خاک با سه خروجی در ابتدای آزمایش

تقریب نیمه تحلیلی توزیع دو بعدی رطوبت در آبیاری قطره‌ای - نواری

متر برآورده گردید چون روش‌های دیگر از جمله روش عددی اف و همکاران برای خاکی غیر از خاک‌های مورد آزمایش در پژوهش حاضر است. لذا امکان مقایسه وجود ندارد چون نتایج حل از معادله با نتایج آزمایش از مدل فیزیکی در خاک‌های مختلف همخوانی خوبی نشان می‌دهد. لذا می‌توان از مدل با دقت خوبی رطوبت خاک را پس از پایان آبیاری که برای برنامه‌ریزی آبیاری ضروری است برآورد کرد.



شکل ۸: خطوط هم رطوبت اندازه‌گیری و برآورده شده از حل معادله پس از پایان آبیاری در خاک رسی-شنی ($T = 14 \text{ h}$ و $q = 2/59 \text{ L/h.m}$)



شکل ۷: خطوط هم رطوبت اندازه‌گیری و برآورده شده از حل معادله A. W. Warrike پس از پایان آبیاری در خاک شنی ($T = 14 \text{ h}$ و $q = 2/59 \text{ L/h.m}$)

از طرف دیگر حداکثر شعاع مرطوب برای دبی ۲/۵۹ لیتر در ساعت بر متر و برای مدت زمان آبیاری ۱۴ ساعت در خاک شنی حدود ۱۶ سانتی‌متر. در خاک رسی-شنی ۲۰ سانتی‌متر و در خاک لوم ۱۸ سانتی‌متر برآورده گردیده است. و نیز عمق خاک مرطوب در خاک شنی حدود ۵۴ سانتی‌متر. در خاک رسی-شنی ۴۵ و در خاک لوم نیز حدود ۴۰ سانتی‌متر برآورده گردیده است که با مقدار اندازه‌گیری شده هم‌خوانی خوبی را نشان می‌دهند. اف لافولی و همکاران به روش عددی به حل معادله حرکت آب در خاک در روش آبیاری قطره‌ای در دو بعد پرداختند در روش حل آن‌ها برای دبی ۳۰ لیتر بر ساعت را به مدت ۱۶ ساعت در خاک لوس (Loes soil) حداکثر شعاع مرطوب نسبت به منبع تغذیه را ۳۸ سانتی‌متر و حداکثر عمق مرطوب را حدود ۳۰ سانتی-

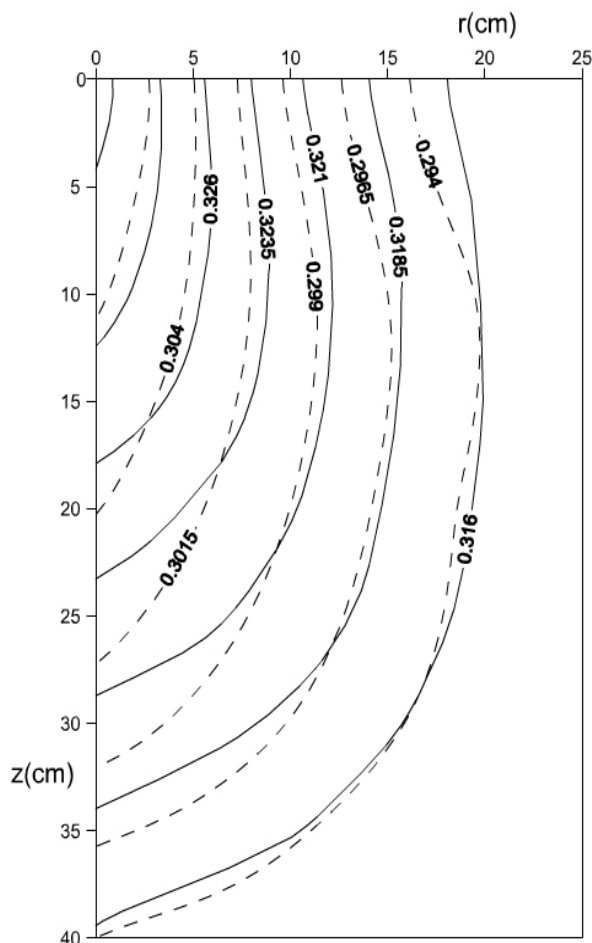
حساسیت رطوبت پروفیل خاک که توسط مدل محاسبه شده است مورد ملاحظه قرار گرفت. جدول ۱ حساسیت رطوبت محاسبه شده از مدل را در مقابل پارامترهای موثر در آن نشان می‌دهد. مقادیر مثبت نشان دهنده افزایش رطوبت و مقادیر منفی نشان دهنده کاهش رطوبت محاسبه شده در مدل در ازاء ده درصد افزایش یا کاهش پارامترهای هیدرولیکی مهم خاک می‌باشد.

جدول ۱: حساسیت تغییرات رطوبت پروفیل خاک محاسبه شده از مدل مقابل پارامترهای موثر در آن

پارامترهای موثر	k_0	n	α	θ_r	θ_s
افزایش ۱۰ درصد	-	-۱/۸	-۲/۴۳	۱/۳۴	۲/۱۵
کاهش ۱۰ درصد	۲/۴۵	۲/۶۹	-۱/۴۴	۲/۰۵	-۱/۸۵

بحث

در این پژوهش به روش تقریب نیمه تحلیلی توزیع رطوبت خاک در آبیاری قطره ای-نواری در دو بعد r و Z برآورد شده و به همراه مقادیر اندازه گیری شده به صورت خطوط هم رطوبت در شکل‌های شماره ۸ و ۹ نشان داده شده است. به طوری که در شکل‌ها ملاحظه می‌گردد، مقادیر رطوبت برآورد شده و اندازه گیری شده در سه خاک و در اعماق مختلف خیلی به هم نزدیک می‌باشند که البته در خاک لومی-شنی هم خوانی بیشتری ملاحظه می‌گردد. مقایسه بین رطوبت اندازه گیری شده و برآورد شده از حل تقریبی نشان می‌دهد که بین آن دو حداقل حدود ۵ درصد اختلاف وجود دارد. وجود مقدار ناچیز خطا طبیعی است. درخصوص این مقدار ناچیز خطا استدلال این است که به جهت این که در مرحله نهایی حل، پتانسیل ماتریک حاصل از حل معادله فوق توسط معادله وان گنوختن به رطوبت خاک تبدیل می‌شود. پارامترهای معادله وان گنوختن یعنی α . n . θ_r . θ_s توسط مدل روزتا محاسبه می‌شوند. میزان دقیقت در برآورد این پارامترها در برآورد رطوبت در روش تقریب نیمه تحلیلی نقش دارند و این



برآورده شده
اندازه گیری شده
شکل ۹: خطوط هم رطوبت اندازه گیری و برآورده از حل معادله A. W. Warriek در خاک Lom ($L = 14 h$, $q = 2/59$)

آنالیز حساسیت

به طوری که قبلاً ذکر شده است پارامترهای هیدرولیکی خاک شامل θ_s , θ_r , n , α با استفاده از نرم افزار روزتا برآورده گردیده‌اند و نیز هدایت هیدرولیکی خاک (k_0) اندازه گیری شده است. به جهت تخمینی بودن پارامترهای فوق الذکر و نیز عدم اطمینان خیلی بالا در تعیین هدایت هیدرولیکی خاک، شاید آنالیز حساسیت یک فاکتور را تغییر داده و بقیه فاکتورها ثابت نگهداشته می‌شوند و مقدار تغییر تابع به ازاء تغییر مورد نظر محاسبه می‌شود. لذا در این قسمت با تغییر کمی پارامترهای فوق در جهت افزایشی و یا کاهشی، میزان

پیشنهادات و توصیه ها

حل نیمه تحلیلی و نیمه عددی معادله واریک در برآورد توزیع رطوبت پس از پایان آبیاری برای همه خاک‌ها توصیه می‌شود. پیشنهاد می‌شود مطالعاتی در سطح مزرعه و در شرایط واقعی‌تر برای خاک‌های مختلف با به کارگیری نتایج پژوهش حاضر صورت پذیرد.

سپاس‌گزاری

از قطب علمی گروه مهندسی آبیاری و آبادانی دانشگاه تهران که با تامین اعتبار لازم، ساخت و راهاندازی مدل فیزیکی و... انجام این پژوهش را امکان‌پذیر ساخت، تقدیر و تشکر می‌گردد.

مسئله در قسمت آنالیز حساسیت نیز مشخص شده است که میزان دقیقت در برآورد پارامترهای فوق در مقدار رطوبت برآورد شده نقش عمده‌ای ایفاء می‌کنند. لذا یکی از عوامل خطأ را می‌توان وجود خطأ در برآورد پارامترهای مورد نیاز در فرمول و انگنوختن دانست. از آن جایی که فرضیاتی برای ساده کردن معادله در روش‌های تقریبی به کار می‌رود آن نیز می‌تواند منشاء دیگر خطأ باشد. در مجموع مقادیر خطأ خیلی کم است. لذا نتایج این پژوهش صحت روش تقریب نیمه تحلیلی در تعیین رطوبت خاک در روش آبیاری قطره‌ای - نواری در دو بعد را به وضوح نشان می‌دهد.

منابع

- Abramowitz, M., and I. A. Stegun. 1965. Handbook of mathematical function. Fourth printing. Applied Math. Ser. US. Government printing office, Washington DC. 944pp. 375 – 377.
- Daniel, H., A. W Warrick, R. S. Baker., C. Rosenzweig. 1998. Environmental Soil Physics. Academic Press, 37-12.
- Elmaloglou. S., q. Grigorakis. 1997. Linear and nonlinear models of infiltrations from surface line source of trickle irrigation. ICID Journal, V. 46 (2): 81-91
- Lafolie, F., Guennelon, R. and van Genuchten, M. Th. 1989. Analysis of water flow under Trickle, Irrigation: 1.theory and, Numerical Solution. Soil. Sci. Soc. j., vol.53, September _october.
- Nakayama F. S. and D. A. Bucks. 1968. Trickle irrigation for crop production, design, operation and management. Elsevier Science publishers B. V. pp: 93-116. p. 383.
- Philip J. R. 1972. Steady infiltration from buried, surface, and perched point and line sources in heterogeneous soils: I. Analysis of Soil. Sci. Amer. Proc., Vol. 36, 1972.
- Schwartzman, M. and B. Zur, 1986. Emitter spacing and Geometry of wetted soil volume. Journal of Irrigation and Drainage Engineering, Vol,112, No: 3.
- Spiegel, M. R., 1981. Mathematical Handbook of Formula and Tables. McGraw. Hill Book Company. 246-248.
- Streeter, Victor Lyle, Wylie. E. Benjamin., K. W. Bedford. 1998. Fluid mechanics. McGraw-Hill.
- Thorburn, P. J., F. J. Cook and K. L. Bristow. 2003. Soil-dependent wetting from trickle emitters: Implications for system design and management. CSIRO Sustainable Ecosystems.
- Warrick, A. W. 1985. Point and line infiltration calcalution of the wetted soil surface, Sci. Soc. M. J., Vol. 49. 1581-1583.
- Zazueta, F. S., G. A. Clark, A. G. Smajstrla, and M. Carrillo, 1995. A simple equation to estimate soil-water movement from a drip irrigation source. Proceedings of the Fifth International Microirrigation Congress. 851-856.
- Zur, B. 1996. Wetted soil volume as a design objective in trickle irrigation. Irrigation Sci, 16: 101-105.

Semi Analytical Approximate of Soil Water Two Dimensions Distribution in Drip Tape Irrigation

Mirzaei^{1*}, F., Hoorfar², A. and Hatami³, M.

Abstract

Determination of wetted soil diameter and depth and distributed humidity in different spaces to line source after irrigation is very important for drip irrigation designed. The flow regime moves in a line source under trickle irrigation in two dimensions (x, z). In this study, physical model was constructed and wetting front experiment were carried out in soils at deferent times with various discharge. The water content of soil was directly determined after each irrigation. By developing and simplification of Warrick,s equation to solvable and semi-analytical approximate equation, soil moisture was determined. Estimated moisture compared with the measured moisture and analyzed. The results were approximately the same as the measured data. This fact strengthened our views in this thesis which are developed are generally in wide range of soils.

Keywords: Drip irrigation, Semi analytical, Approximation, Wetting front, Line source, Moisture distribution

1 & 2. Assistant Professor and Associate Professor respectively, Water and Soil Eng. College, Faculty of Agricultural and Natural Resources, University of Tehran, Karaj

3. Former Graduate student of Water Eng, Vollege of Agricultural, University of Mazanderan, Sari

*. Corresponding Author